

ID=512744860

YU ISSN 0040-2176

UDC: 62(062.2) (497.1)

# TEHNIKA®

GODINA LXIV 2009.

ČASOPIS SAVEZA INŽENJERA I TEHNIČARA SRBIJE

4

# Numerički aspekt rešenja diferencijalnih jednačina strujanja suspenzije između dva saosna cilindra

Dr DUŠKO SALEMOVIĆ, Viša tehnička škola, Zrenjanin,  
 dr BOŠKO JOVANOVIĆ, Matematički fakultet,  
 Beograd, dr ALEKSANDAR DEDIĆ, Šumarski fakultet, Beograd

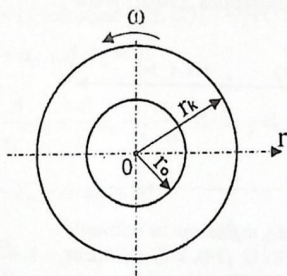
Originalni naučni rad  
 UDC: 621.8.032-222

U radu će biti prezentovan numerički aspekt rešenja sistema običnih linearnih diferencijalnih jednačina sa promenljivim koeficijentima, koje opisuju strujanje suspenzije između dva saosna cilindra, od kojih unutrašnji miruje, a spoljašnji rotira konstantnom ugaonom brzinom. Rešenje ovih jednačina pronađeno je metodom običnih konačnih razlika, a zatim su kroz odgovarajuće skupove tačaka (čvorove) provučeni interpolacioni grafici.

**Ključne reči:** strujanje suspenzije, numeričko rešenje, identifikacija rešenja

## 1. POSTAVKA MATEMATIČKOG MODELA STRUJANJA SUSPENZIJE IZMEĐU DVA SAOSNA CILINDRA

Na slici 1. prikazana su dva saosna cilindra, od kojih unutrašnji miruje, a spoljašnji rotira konstantnom ugaonom brzinom ( $\omega$ ), dok se između njih kreće suspenzija određenih fizičkih svojstava. Poluprečnici ovih cilindra su respektivno, unutrašnjeg ( $r_0$ ), a spoljašnjeg ( $r_k$ ).



Slika 1 - Uprošćena funkcionalna shema kretanja suspenzije između dva saosna cilindra

Matematički model strujanja suspenzije, opisuje polje brzine kretanja suspenzije ( $v$ ) i polje brzine mikrorotacije suspenzije ( $w$ ), u zavisnosti od potega ( $r$ ) i definisan je sistemom od dve obične lineare diferencijalne jednačine drugog reda sa promenljivim koeficijentima, koje poseduju sledeću formu [1].

Adresa autora: dr Aleksandar Dedić, Šumarski fakultet, Kneza Višeslava 1, 11030 Beograd

Rad primljen: 19. 03. 2009.

$$\left\{ \begin{aligned} r^2 \frac{d^2 v}{dr^2} + r \frac{dv}{dr} - v - \frac{\alpha_1}{1 + \alpha_1} r^2 \frac{dw}{dr} &= 0, & (1) \\ \alpha_2 r \frac{dv}{dr} + \alpha_2 v + r \frac{d^2 w}{dr^2} + \frac{dw}{dr} - 2\alpha_2 r w &= 0 & (2) \end{aligned} \right.$$

gde je  $\alpha_1 = \text{const} > 0$  i  $\alpha_2 = \text{const} > 0$ .

Granični uslovi za prethodni sistem jednačina glase:

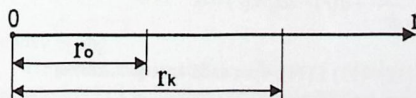
$$v(r)|_{r=r_0} = v(r_0) = v_0 = 0, \quad (3)$$

$$v(r)|_{r=r_k} = v(r_k) = v_k = r_k \omega, \quad (4)$$

$$w(r)|_{r=r_0} = w(r_0) = w_0 = 0, \quad (5)$$

$$w(r)|_{r=r_k} = w(r_k) = w_k = 0. \quad (6)$$

Granična kontura na kojoj sistem jednačina (1) i (2) uz granične uslove (3), (4), (5) i (6) važi, predstavlja duž na potegu ( $r$ ), u rasponu od unutrašnjeg ( $r_0$ ), do spoljašnjeg ( $r_k$ ), poluprečnika nepokretnog i pokretnog cilindra, što je prikazano na slici 2.



Slika 2 - Granična kontura za sistem jednačina (1) i (2) uz granične uslove (3), (4), (5) i (6)



2. POSTUPAK NUMERIČKOG REŠAVANJA  
DIFERENCIJALNIH JEDNAČINA KOJE  
OPISUJU STRUJANJE SUSPENZIJE IZMEĐU  
DVA SAOSNA VALJKA

Iako je sistem diferencijalnih jednačina (1) i (2), uz granične uslove (3), (4), (5) i (6), analitički rešiv [2], ovde će biti prezentovano numeričko rešenje ovog problema.

Pre nego što se pristupi rešavanju ovog problema, izvršiće se snižavanje reda sistema jednačina (1) i (2) sa drugog na prvi red, poznatom "metodom Košija", tako što će se definisati sledeće zavisno promenljive [3]:

$$a(r) = v(r), \quad (7)$$

$$b(r) = \frac{dv(r)}{dr}, \quad (8)$$

$$c(r) = w(r), \quad (9)$$

$$d(r) = \frac{dw(r)}{dr}. \quad (10)$$

Diferencirajući jednačinu (7) po nezavisno promenljivoj ( $r$ ) i uzimajući u obzir jednačinu (8), slediće:

$$\frac{da(r)}{dr} = b(r).$$

Analogno prethodnom, diferencirajući jednačinu (9), takođe po nezavisno promenljivoj ( $r$ ) i uzimajući u obzir jednačinu (10), slediće:

$$\frac{dc(r)}{dr} = d(r). \quad (12)$$

Uvažavajući jednačine (7), (8), (9) i (10), jednačine (1) i (2) će poprimiti sledeću formu:

$$r^2 \frac{db(r)}{dr} + rb(r) - a(r) - \frac{\alpha_1}{1 + \alpha_1} r^2 d(r) = 0, \quad (13)$$

$$\alpha_2 rb(r) + \alpha_2 a(r) + r \frac{dd(r)}{dr} + d(r) - 2\alpha_2 rc(r) = 0. \quad (14)$$

Jednačine (11), (12), (13) i (14), čine sada sistem od četiri obične linearne diferencijalne jednačine prvog reda sa promenljivim koeficijentima, koje sakupljene na jednom mestu glase:

$$\left\{ \begin{aligned} \frac{da(r)}{dr} &= b(r), & (15) \end{aligned} \right.$$

$$\left\{ \begin{aligned} \frac{db(r)}{dr} &= \frac{1}{r^2} a(r) - \frac{1}{r} b(r) + \frac{\alpha_1}{1 + \alpha_1} d(r), & (16) \end{aligned} \right.$$

$$\left\{ \begin{aligned} \frac{dc(r)}{dr} &= d(r), & (17) \end{aligned} \right.$$

$$\frac{dd(r)}{dr} = \frac{\alpha_2}{r} a(r) - \alpha_2 b(r) + 2\alpha_2 c(r) - \frac{1}{r} d(r). \quad (18)$$

Granični uslovi (3), (4), (5) i (6), shodno promenama u strukturi jednačina (1) i (2), postaju:

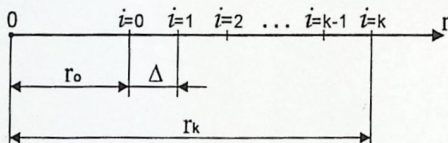
$$a(r)|_{r=r_0} = a(r_0) = a_0 = 0, \quad (19)$$

$$a(r)|_{r=r_k} = a(r_k) = a_k = r_k \omega, \quad (20)$$

$$c(r)|_{r=r_0} = c(r_0) = c_0 = 0, \quad (21)$$

$$c(r)|_{r=r_k} = c(r_k) = c_k = 0. \quad (22)$$

Kompletan algoritam numeričkog rešavanja sistema jednačina (15), (16), (17) i (18), uz granične uslove (19), (20), (21) i (22) i graničnu konturu sa slike 2, biće započet definisanjem "mreže", tj. Deobom granične konture na sekvence, shodno usvojenom koraku integracije ( $\Delta$ ). Granična kontura sa slike 2, definisana kao "integraciona mreža" prikazana je na slici 3.



Slika 3 - Integraciona mreža, definisana za rešavanje sistema jednačina (15), (16), (17) i (18), uz granične uslove (19), (20), (21) i (22)

Veličina koraka integracije iznosiće:

$$\Delta = \frac{r_k - r_0}{n} \quad (23)$$

gde je veličina ( $n$ ) jednaka broju koraka duž granične konture.

Izvodi veličina  $a(r)$ ,  $b(r)$ ,  $c(r)$  i  $d(r)$ , zamenjeni običnim konačnim razlikama, definisani su na sledeći način [4]:

$$\frac{da}{dr} \approx \frac{a_i - a_{i-1}}{\Delta}, \quad (24)$$

$$\frac{db}{dr} \approx \frac{b_i - b_{i-1}}{\Delta}, \quad (25)$$

$$\frac{dc}{dr} \approx \frac{c_i - c_{i-1}}{\Delta}, \quad (26)$$

$$\frac{dd}{dr} \approx \frac{d_i - d_{i-1}}{\Delta}. \quad (27)$$

Zamenom izraza (24), (25), (26) i (27) u jednačine (15), (16), (17) i (18), slediće:

$$a_i - a_{i-1} - \Delta \cdot b_{i-1} = 0, \quad (28)$$

$$b_i - b_{i-1} - \frac{\Delta}{r_{i-1}} a_{i-1} + \frac{\Delta}{r_{i-1}} b_{i-1} - \frac{\alpha_1}{1 + \alpha_1} \Delta \cdot d_{i-1} = 0, \quad (29)$$

$$c_i - c_{i-1} - \Delta \cdot d_{i-1} = 0, \quad (30)$$

$$d_i - d_{i-1} + \frac{\alpha_2}{r_{i-1}} \Delta \cdot a_{i-1} + \alpha_2 \Delta \cdot b_{i-1} - 2\alpha_2 \Delta \cdot c_{i-1} + \frac{\Delta}{r_{i-1}} d_{i-1} = 0. \quad (31)$$

Gornji numerički algoritam za izračunavanje veličina ( $a$ ,  $b$ ,  $c$  i  $d$ ), važi za sve tačke na "mreži", u rasponu od:

$$i = (l \div k). \quad (32)$$

Za ( $i = 1$ ), jednačine (28), (29), (30) i (31) glase:

$$a_1 - a_0 - \Delta \cdot b_0 = 0, \quad (33)$$

$$b_1 - b_0 - \frac{\Delta}{r_0} a_0 + \frac{\Delta}{r_0} b_0 - \frac{\alpha_1}{1 + \alpha_1} \Delta \cdot d_0 = 0, \quad (34)$$

$$c_1 - c_0 - \Delta \cdot d_0 = 0, \quad (35)$$

$$d_1 - d_0 + \frac{\alpha_2}{r_0} \Delta \cdot a_0 + \alpha_2 \Delta \cdot b_0 - 2\alpha_2 \Delta \cdot c_0 + \frac{\Delta}{r_0} d_0 = 0. \quad (36)$$

Za ( $i = 2$ ), jednačine (28), (29), (30) i (31) glase:

$$a_2 - a_1 - \Delta \cdot b_1 = 0, \quad (37)$$

$$b_2 - b_1 - \frac{\Delta}{r_1} a_1 + \frac{\Delta}{r_1} b_1 - \frac{\alpha_1}{1 + \alpha_1} \Delta \cdot d_1 = 0, \quad (38)$$

$$c_2 - c_1 - \Delta \cdot d_1 = 0, \quad (39)$$

$$d_2 - d_1 + \frac{\alpha_2}{r_1} \Delta \cdot a_1 + \alpha_2 \Delta \cdot b_1 - 2\alpha_2 \Delta \cdot c_1 + \frac{\Delta}{r_1} d_1 = 0. \quad (40)$$

Gornji algoritam treba sprovesti za ( $i = 3$ ), ( $i = 4$ ), ..., ( $i = k-1$ ), pa sve do ( $i = k$ ).

Konačno za ( $i = k$ ), jednačine (28), (29), (30) i (31) glase:

$$a_k - a_{k-1} - \Delta \cdot b_{k-1} = 0, \quad (41)$$

$$b_k - b_{k-1} - \frac{\Delta}{r_{k-1}} a_{k-1} + \frac{\Delta}{r_{k-1}} b_{k-1} - \frac{\alpha_1}{1 + \alpha_1} \Delta \cdot d_{k-1} = 0, \quad (42)$$

$$c_k - c_{k-1} - \Delta \cdot d_{k-1} = 0, \quad (43)$$

$$d_k - d_{k-1} + \frac{\alpha_2}{r_{k-1}} \Delta \cdot a_{k-1} + \alpha_2 \Delta \cdot b_{k-1} -$$

$$- 2\alpha_2 \Delta \cdot c_{k-1} + \frac{\Delta}{r_{k-1}} d_{k-1} = 0. \quad (44)$$

Nepoznate veličine u gornjem sistemu linearnih algebarskih jednačina su:

$$\begin{array}{lll} b_0, & d_0, & \text{za } r = r_0 \\ a_1, & b_1, & c_1, & d_1, & \text{za } r = r_1 \\ a_2, & b_2, & c_2, & d_2, & \text{za } r = r_2 \\ \dots & & & & \\ a_{k-1}, & b_{k-1}, & c_{k-1}, & d_{k-1}, & \text{za } r = r_{k-1} \\ & b_k, & d_k, & & \text{za } r = r_k \end{array}$$

Veličine ( $a_0, c_0, a_k$  i  $c_k$ ) su zadate graničnim uslovima (19), (20), (21) i (22), dok vrednosti potega ( $r$ ) u odgovarajućim tačkama na "integracionoj mreži" iznose:

$$r_1 = r_0 + \Delta, \quad (45)$$

$$r_2 = r_0 + 2 \cdot \Delta, \quad (46)$$

...

$$r_{k-1} = r_0 + (k-1) \cdot \Delta, \quad (47)$$

$$r_k = r_0 + k \cdot \Delta. \quad (48)$$

Sistem linearnih algebarskih jednačina (33) ÷ (44), napisan u matricnoj formi poprimiče sledeći izgled [4]:

$$A \underline{x} = \underline{y} \quad (49)$$

U prethodnoj matricnoj linearnoj algebarskoj jednačini (49), kvadratna matrica ( $A$ ) i matrice kolone ( $\underline{x}$ ) i ( $\underline{y}$ ), imaju oblik prikazan u tabeli 1.



Tabela 1 - Razvijeni oblik matrice linearne algebarske jednačine (49)

$A =$	$A_{4 \times 2}^0$	$I_{4 \times 4}$	$O_{4 \times 4}$	...	$O_{4 \times 4}$	$O_{4 \times 4}$	$O_{4 \times 2}$	$b_0$	$e$
								$d_0$	$f$
								$a_1$	$g$
								$b_1$	$h$
								$c_1$	$0$
								$d_1$	$0$
	$O_{4 \times 2}$	$A_{4 \times 4}^1$	$I_{4 \times 4}$	..	$O_{4 \times 4}$	$O_{4 \times 4}$	$O_{4 \times 2}$	$a_2$	$0$
								$b_2$	$0$
								$c_2$	$0$
								$d_2$	$0$
	$O_{4 \times 2}$	$O_{4 \times 4}$	$A_{4 \times 4}^2$	..	$O_{4 \times 4}$	$O_{4 \times 4}$	$O_{4 \times 2}$	...	...
								...	...
								...	...
								...	...
	...	...	...	...	...	...	...	$a_{k-2}$	$0$
								$b_{k-2}$	$0$
								$c_{k-2}$	$0$
								$d_{k-2}$	$0$
	$O_{4 \times 2}$	$O_{4 \times 4}$	$O_{4 \times 4}$	...	$A_{4 \times 4}^{k-2}$	$I_{4 \times 4}$	$O_{4 \times 2}$	$a_{k-1}$	$0$
								$b_{k-1}$	$0$
								$c_{k-1}$	$k$
								$d_{k-1}$	$0$
	$O_{4 \times 2}$	$O_{4 \times 4}$	$O_{4 \times 4}$	...	$O_{4 \times 4}$	$A_{4 \times 4}^{k-1}$	$I_{4 \times 2}$	$b_k$	$l$
								$d_k$	$0$

Pojedine "submatrice" i ostale nepoznate veličine u gornjim matricama su:

$$A_{4 \times 2}^0 = \begin{pmatrix} -\Delta & 0 \\ \frac{\Delta}{r_0} - 1 & -\frac{\alpha_1 \Delta}{1 + \alpha_1} \\ 0 & -\Delta \\ \alpha_2 \Delta & \left( \frac{\Delta}{r_0} - 1 \right) \end{pmatrix}; A_{4 \times 4}^1 = \begin{pmatrix} -1 & -\Delta & 0 & 0 \\ -\frac{\Delta}{r_1^2} & \left( \frac{\Delta}{r_1} - 1 \right) & 0 & -\frac{\alpha_1 \Delta}{1 + \alpha_1} \\ 0 & 0 & -1 & -\Delta \\ \frac{\alpha_2 \Delta}{r_1} & \alpha_2 \Delta & -2\alpha_2 \Delta & \left( \frac{\Delta}{r_1} - 1 \right) \end{pmatrix};$$

$$A_{4 \times 4}^2 = \dots; A_{4 \times 4}^{k-2} = \dots; A_{4 \times 4}^{k-1} = \begin{pmatrix} -1 & -\Delta & 0 & 0 \\ -\frac{\Delta}{r_{k-1}^2} & \left( \frac{\Delta}{r_{k-1}} - 1 \right) & 0 & -\frac{\alpha_1 \Delta}{1 + \alpha_1} \\ 0 & 0 & -1 & -\Delta \\ \frac{\alpha_2 \Delta}{r_{k-1}} & \alpha_2 \Delta & -2\alpha_2 \Delta & \left( \frac{\Delta}{r_{k-1}} - 1 \right) \end{pmatrix} \tag{51}$$

$$I_{4 \times 2} = \begin{bmatrix} 0 & 0 \\ 1 & 0 \\ 0 & 0 \\ 0 & 1 \end{bmatrix}; I_{4 \times 4} = \begin{bmatrix} 1 & 0 & 0 & 0 \\ 0 & 1 & 0 & 0 \\ 0 & 0 & 1 & 0 \\ 0 & 0 & 0 & 1 \end{bmatrix} \tag{52}$$

$$e = a_0, \tag{54}$$

$$f = \frac{\Delta}{r_0^2} a_0, \tag{55}$$

$$g = c_0, \tag{56}$$

$$h = -\frac{\alpha_2 \Delta}{r_0} a_0 + 2\alpha_2 \Delta c_0, \tag{57}$$

$$O_{4 \times 2} = \begin{bmatrix} 0 & 0 \\ 0 & 0 \\ 0 & 0 \\ 0 & 0 \end{bmatrix}; O_{4 \times 4} = \begin{bmatrix} 0 & 0 & 0 & 0 \\ 0 & 0 & 0 & 0 \\ 0 & 0 & 0 & 0 \\ 0 & 0 & 0 & 0 \end{bmatrix} \tag{53}$$

$$k = -a_k, \tag{58}$$

$$l = -c_k. \tag{59}$$

Treba napomenuti da dimenzije matrica  $A$ ,  $(\underline{x})$  i  $(\underline{y})$ , zavise od broja koraka integracije. Svaki korak više, uvećava dimenzije matrice  $(A)$  za (4) po vrsti i (4) po koloni, dok se dimenzije matrica  $(\underline{x})$  i  $(\underline{y})$  uvećavaju za (4) po vrsti.

Nepoznata matrica kolona  $(\underline{x})$  može se dobiti rešavanjem matricne linearne algebarske jednačine (49) na sledeći način [4]:

$$\underline{x} = A^{-1} \cdot \underline{y}. \quad (60)$$

Osnovni problem prilikom rešavanja gornje matricne jednačine je kako pronaći inverznu matricu  $(A^{-1})$ , kvadratne matrice  $(A)$  i zatim je pomnožiti matricom kolonom  $(\underline{y})$ .

Što je broj koraka numeričke integracije veći, dimenzije matrica  $(A)$  i  $(\underline{y})$  su veće pa je samim tim i problem složeniji. Tačnost numeričkog rešenja pak raste sa većim brojem koraka, pa je sa te strane posmatrano poželjnije da matrice  $(A)$  i  $(\underline{y})$ , budu što većih dimenzija. Zahtevi u pogledu tačnosti rešenja su protivurečni i ustvari su limitirani mogućnostima odgovarajućeg hardvera i softvera digitalnog računara koji treba da izračuna vrednosti matrice kolone  $(\underline{x})$ .

Izračunate vrednosti matrice kolone  $(\underline{x})$ , zajedno sa graničnim uslovima (19), (20), (21), (22), treba srediti tabelarno na način prikazan u tabeli 2.

Tabela 2 - Vrednosti matrice kolone  $(\underline{x})$ , zajedno sa graničnim uslovima

$r$	$a = v(r)$	$b = \frac{dv(r)}{dr}$	$c = w(r)$	$d = \frac{dw(r)}{dr}$	(61)
$r_0$	$a_0 = 0$	$b_0$	$c_0 = 0$	$d_0$	
$r_1 = r_0 + \Delta$	$a_1$	$b_1$	$c_1$	$d_1$	
$r_2 = r_0 + 2\Delta$	$a_2$	$b_2$	$c_2$	$d_2$	
...	...	...	...	...	
$r_{k-2} = r_0 + (k-2)\Delta$	$a_{k-2}$	$b_{k-2}$	$c_{k-2}$	$d_{k-2}$	
$r_{k-1} = r_0 + (k-1)\Delta$	$a_{k-1}$	$b_{k-1}$	$c_{k-1}$	$d_{k-1}$	
$r_k = r_0 + k\Delta$	$a_k = r_k \omega$	$b_k$	$c_k = 0$	$d_k$	

Na kraju potrebno je još formirati interpolacione zavisnosti za veličine  $v(r)$ ,  $dv(r)/dr$ ,  $w(r)$  i  $dw(r)/dr$  u funkciji od potega  $(r)$ , i nacrtati njihove grafike. Ovde će biti prezentovani rezultati prethodne analize u slučaju da je:

$$a_1 = 10, \quad (62)$$

$$a_2 = 10, \quad (63)$$

$$\omega = 100, \quad (64)$$

$$r_0 = 0,004, \quad (65)$$

$$r_k = r_{10} = 0,0048, \quad (66)$$

$$n = 10(k = n = 10), \quad (67)$$

$$\Delta = \frac{r_k - r_0}{n} = \frac{r_{10} - r_0}{n} = \frac{0,0048 - 0,004}{10} = 0,00008, \quad (68)$$

$$a_0 = 0, \quad (69)$$

$$a_k = r_k \omega = r_{10} \omega = 0,0048 \cdot 100 = 0,48, \quad (70)$$

$$c_0 = 0, \quad (71)$$

$$c_k = 0, \quad (72)$$

$$r_1 = r_0 + \Delta = 0,004 + 0,00008 = 0,00408, \quad (73)$$

$$r_2 = r_0 + 2\Delta = 0,004 + 2 \cdot 0,00008 = 0,00416, \quad (74)$$

...

$$r_{k-1} = r_0 + (k-1) \cdot \Delta = 0,004 + (10-1) \cdot 0,00008 = 0,00472, \quad (75)$$

$$r_k = r_0 + k \cdot \Delta = 0,004 + 10 \cdot 0,00008 = 0,0048. \quad (76)$$

Treba reći da pošto je odabrano da broj koraka numeričke integracije bude  $(n = 10)$ , dimenzije kvadratne matrice  $(A)$  iznose  $(40 \times 40)$  dok dimenzije matrica kolona  $(\underline{x})$  i  $(\underline{y})$  iznose  $(40 \times 1)$ . Shodno iznesenoj numeričkoj proceduri koja je izvedena u programskom paketu EXCEL 97, rezultati proračuna su sredi u skladu sa tabelom 2 i prikazani u tabeli 3.

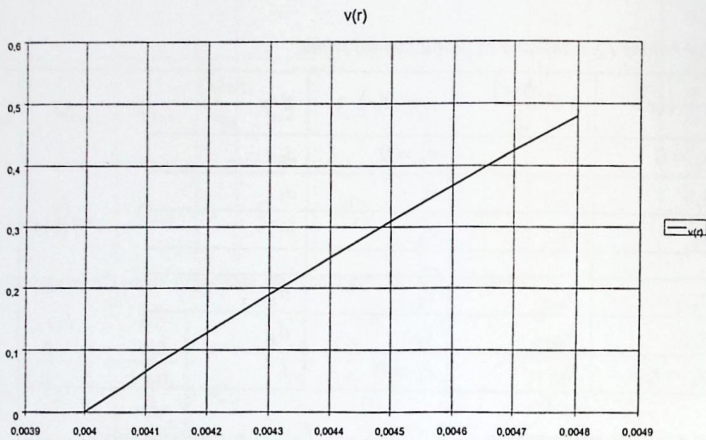
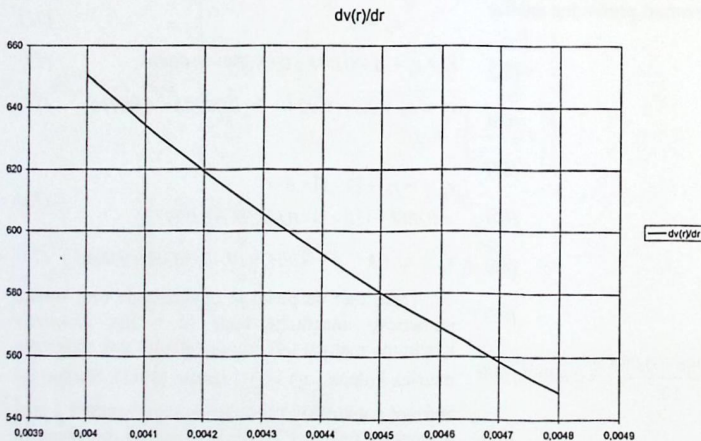


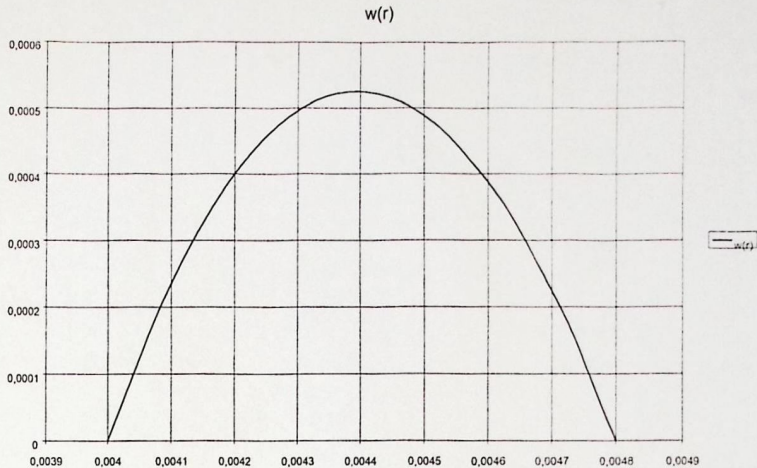
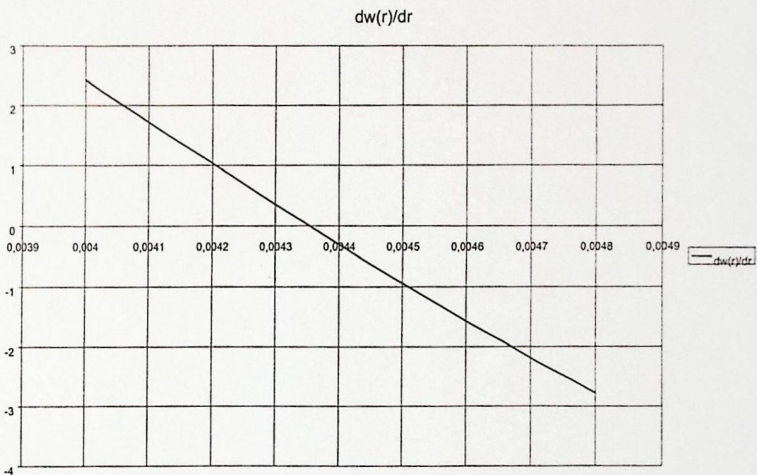
Tabela 3 - Vrednosti brzine i mikrorotacije suspenzije u zavisnosti od potega ( $r$ )

$r$	$v(r)$	$dv(r)/dr$	$w(r)$	$dw(r)/dr$
$r_0=0,00400$	0	650,5173162	0	2,426292071
$r_1=0,00408$	0,052041385	637,5071463	0,000194103	1,857352376
$r_2=0,00416$	0,103041957	625,2572440	0,000342692	1,300724103
$r_3=0,00424$	0,153062537	613,7095013	0,000446746	0,755689170
$r_4=0,00432$	0,202159297	602,8112572	0,000507205	0,221584274
$r_5=0,00440$	0,250384197	592,5146970	0,000524931	-0,302204240
$r_6=0,00448$	0,297785373	582,7763260	0,000500755	-0,816244935
$r_7=0,00456$	0,344407479	573,5565099	0,000435455	-1,321065351
$r_8=0,00464$	0,390292000	564,8190707	0,000329770	-1,817155642
$r_9=0,00472$	0,435477525	556,5309314	0,000184398	-2,304971825
$r_{10}=0,00480$	0,480000000	548,6618020	0	-2,784938707

(77)

Grafici veličina  $v(r)$ ,  $dv(r)/dr$ ,  $w(r)$  i  $dw(r)/dr$ , prikazani su na slikama 4, 5, 6 i 7.

Slika 4 - Grafik veličine  $v(r)$  u zavisnosti od potega ( $r$ )Slika 5 - Grafik veličine  $dv(r)/dr$  u zavisnosti od potega ( $r$ )

Slika 6 - Grafik veličine  $w(r)$  u zavisnosti od potega ( $r$ )Slika 7 - Grafik veličine  $dw(r)/dr$  u zavisnosti od potega ( $r$ )

### 3. ZAKLJUČAK

Rezultati numeričkog postupka rešavanja sistema diferencijalnih jednačina (1) i (2), prikazani kroz grafike veličina  $v$ ,  $(dv/dr)$ ,  $w$  i  $(dw/dr)$ , pokazuju izuzetnu tačnost i slaganje sa očekivanim ponašanjem.

Kao potvrda ispravnosti celokupnog postupka, treba naglasiti slaganje "ponašanja" veličina  $v(r)$  i  $dv(r)/dr$ , odnosno  $w(r)$  i  $dw(r)/dr$ . Pošto na intervalu

$(r_0 \div r_k)$  veličina  $v(r)$  monotono raste, njen prvi izvod mora biti veći od nule, što je sa grafika  $dv(r)/dr$  evidentno. Osim toga, na delovima intervala  $(r_0 \div r_k)$ , gde veličina  $w(r)$  raste, njen prvi izvod  $dw(r)/dr$  je veći od nule, gde veličina  $w(r)$  opada, njen prvi izvod  $dw(r)/dr$  je manji od nule, što je očekivano ponašanje. Shodno tome, tačka maksimuma veličine  $w(r)$ , odgovara nuli veličine  $dw(r)/dr$ .

Pored toga, ovde prezentovani rezultati u potpunom su skladu sa rezultatima prikazanim u radu



[2]. Razlike u vrednostima veličina  $v(r)$  i  $w(r)$  između analitičkog i numeričkog rešenja su zanemarljivo male, tj razlike u slučaju brzine  $v(r)$  su ( $10^{-3}$ ), odnosno u slučaju brzine  $w(r)$  su ( $10^{-6}$ ).

**Oznake:**

- $v(r)$  - Brzina kretanja suspenzije, (m/s)  
 $w(r)$  - Brzina mikrorotacije suspenzije, (m/s)  
 $r$  - Poteg, (m)  
 $\alpha_1$  - Konstanta,  
 $\alpha_2$  - Konstanta,  
 $\omega$  - Ugaona brzina, (1/s)  
 $\Delta$  - Korak numeričke integracije, (m)  
 $n$  - Broj koraka numeričke integracije  
 $A$  - Kvadratna matrica  
 $\underline{x}$  - Matrica kolona  
 $\underline{y}$  - Matrica kolona

**Donji indeksi:**

- $o$  - početni  
 $k$  - krajnji

**LITERATURA**

- [1] P. Cvetković, D. Kuzmanović, Z. Golubović - On the motions of suspension with nonsymmetric stress tensor, *Theoretical and Applied Mechanics*, 17, 1991, pp.27-38.  
[2] B. Jovanović, D. Salemović, A. Dedić - Analitički aspekt rešenja diferencijalnih jednačina strujanja suspenzije između dva saosna cilindra, *Tehnika*, 63/5, 2008, str.1-7.  
[3] M. Bertolino - Diferencijalne jednačine, Naučna knjiga, Beograd, 1980.  
[4] M. Bertolino - Numerička analiza, Naučna knjiga, Beograd, 1981.

**SUMMARY**

**NUMERICAL SOLUTION OF DIFFERENTIAL EQUATIONS OF FLUID FLOW SUSPENSION BETWEEN TWO COAXIAL CYLINDERS**

*In this paper numerical solution of linear differential equations with variable coefficients which treats fluid flow suspension between two coaxial cylinders was presented. The internal cylinder was still and the external one rotated with constant velocity which was very often case in practice, due to better mixing the components. The solution was found in the form of finite differences and for the representative number of nodes the interpolation curves were introduced.*

**Key words:** suspension flow, numerical solution, identification

